СТРУКТУРНО-ФАЗОВЫЙ СОСТАВ И МАГНИТОТРАНСПОРТНЫЕ СВОЙСТВА НАНОКОМПОЗИЦИОННЫХ ПЛЕНОК FeCoZr-CaF₂

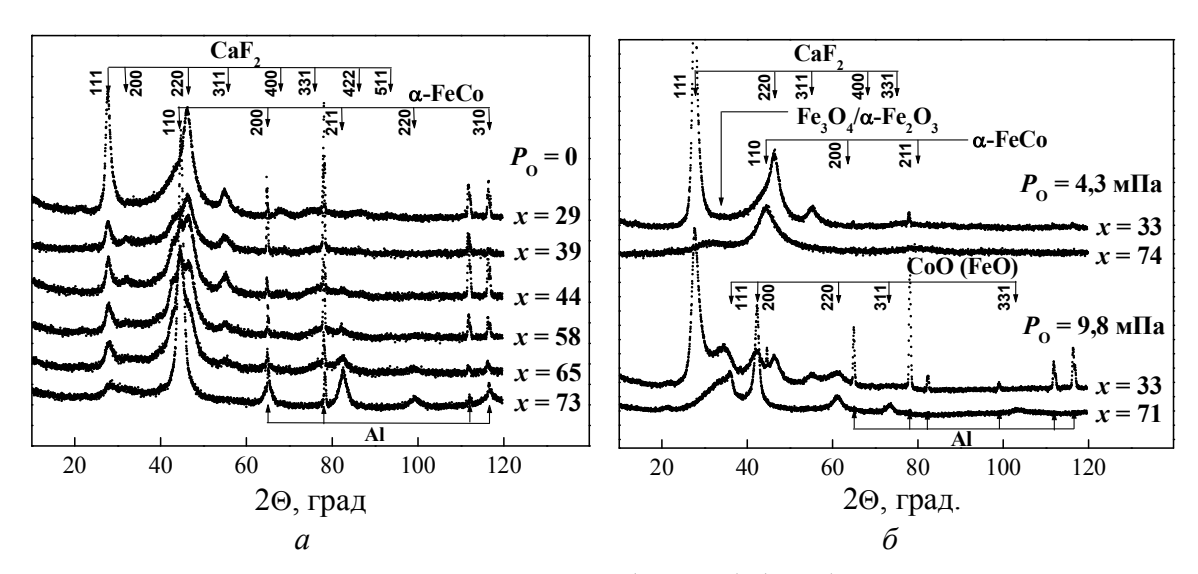
Ю. В. Касюк, Ю. А. Федотова, И. А. Свито

В настоящее время актуальным направлением материаловедения является изучение гранулированных нанокомпозиционных (ГНК) материалов, состоящих из наноразмерных металлических частиц (гранул) ферромагнитного сплава, случайным образом распределенных в диэлектрической немагнитной матрице. Интерес к подобного рода материалам обусловлен проявляемыми ими свойствами, отличающими их от массивных материалов (высокая намагниченность насышения и электросопротивление, низкая коэрцитивная сила, значительный магниторезистивный эффект и др. [1]). Сочетание практически значимых свойств ГНК обуславливают возможность их применения при разработке магнитных ячеек памяти, сенсоров магнитного поля и др. [1, 2].

В качестве объекта исследования в настоящей работе выбраны ГНК пленки $FeCoZr-CaF_2$ с варьируемым соотношением металлической и диэлектрической фракций для изучения возможности формирования в этих материалах скоррелированных по направлению магнитных моментов металлических частиц, перпендикулярных плоскости пленки. Добавление кислорода при синтезе композитов являлось дополнительным фактором, позволяющим целенаправленно изменять магнитное состояние гранул и механизмы электропереноса в образцах.

ГНК пленки ($Fe_{45}Co_{45}Zr_{10}$) $_x$ (CaF_2) $_{100-x}$, 16 ат.% $\le x \le 75$ ат.% (h = 1-6 мкм), осаждались методом ионно-лучевого распыления составных мишеней в атмосферах Ar и Ar+O $_2$ ($P_O = 4,3$ и 9,8 мПа). Структура пленок исследовалась просвечивающей электронной микроскопией (ПЭМ) (Philips EM400T, 120 кВ). Анализ структурно-фазового состава ГНК проводился методами рентгеноструктурного анализа (PCA) (Етругеал PANalytical) в геометрии 2 θ (угол падающего излучения составлял 5°) и ядерной гамма-резонансной (ЯГР) спектроскопии (57 Fe, источник 57 Co/Rh, 40 мКи) в просвечивающей геометрии. Полевые (H = 0 - 80 кЭ) и температурные (T = 10-300 К) зависимости магнитосопротивления (МС) Δ R/R $_0$ нанокомпозитов измерялись 4-х зондовым методом (High Field Measurement System).

РСА неокисленных пленок (рис. 1 а) обнаружил большое число линий отражения от ГЦК структуры CaF_2 (a = 5,48-5,52 Å) и ОЦК решетки α -FeCo (a = 2,86-2,94 Å), что свидетельствует о кристаллическом состоянии частиц и матрицы. Гранулированная структура пленок подтверждается ПЭМ (рис. 2). Средний размер частиц составляет \sim 3,3 нм при x = 39 ат.%.



Puc. 1. Рентгенограммы нанокомпозитов (FeCoZr)_x(CaF₂)_{100-x}, $29 \le x \le 74$ ат.%, синтезированных в бескислородной (*a*) и кислородсодержащих (*б*) атмосферах

РСА окисленных пленок (Ar+O₂; P_O = 4,3 мПа) помимо линий отражения от матрицы CaF₂ и наночастиц α -FeCo показывает в области x = 53–74 ат.% уширенную линию от оксидов (2 θ = 33-34°), относящуюся к Fe₃O₄ либо α -Fe₂O₃ (рис. 1 б). Увеличение давления кислорода в атмосфере синтеза до 9,8 мПа приводит к появлению линий отражения от кристаллического оксида CoO (FeO) с ГЦК решеткой (a = 4,26–4,31 Å). Отсутствие линий α -FeCo свидетельствует о полном окислении металлических наночастиц в образцах, синтезированных при P_O = 9,8 мПа.

Исследования локального окружения Fe методом ЯГР-спектроскопии показали, что пленки, осажденные в атмосфере Ar, содержат наночастицы сплава α -FeCo(Zr) в суперпарамагнитном (СП) состоянии при x = 29—

39 ат.% [3], тогда как увеличение концентрации FeCoZr приводит к постепенному увеличению размеров и агломерации наночастиц, а также к усилению ферромагнитного (ФМ) взаимодействия между ними. Это отражается в появлении в спектрах магнитно-расщеплённых секстетов. Важной особенностью спектров данных пленок является наблюдаемое соотношение интенсивностей спектральных линий $(h_3:h_2:h_1)$ в этих секстетах, котоpoe образца ДЛЯ $(FeCoZr)_{73}(CaF_2)_{27}$ составляет

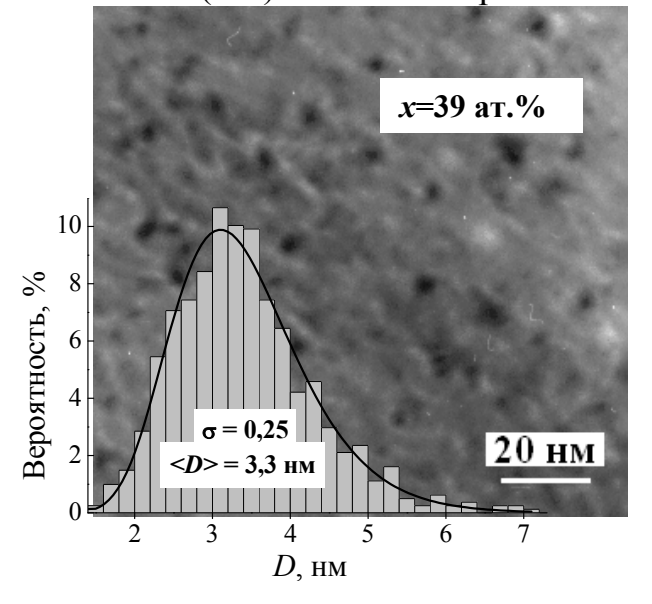
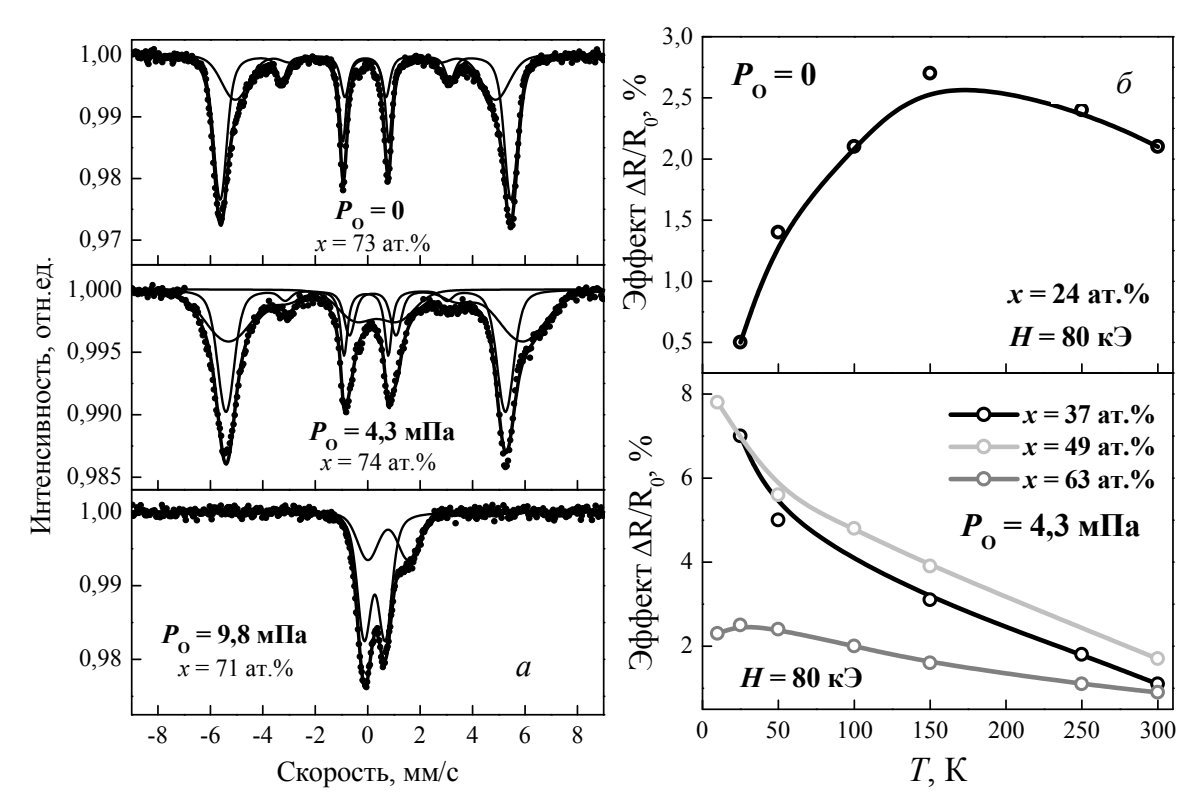


Рис. 2. Изображение ПЭМ и гистограмма распределения наночастиц по размерам

 $3:\sim 0,3:1$ (рис. 3 a). Это является следствием практически перпендикулярной к плоскости пленки ориентации магнитных моментов атомов Fe ($\theta \sim 20^\circ$) с нормалью к пленке [3]). Возникновение преимущественного направления магнитных моментов гранул, вероятно, связано с анизотропией формы частиц, т.е. с ростом т.н. столбчатых структур [2].



Puc. 3. ЯГР-спектры (*a*) и зависимости $\Delta \rho/\rho_0$ (*T*) (*б*) ГНК пленок (FeCoZr)_x(CaF₂)_{100-x}, $24 \le x \le 74$ ат.%, синтезированных в атмосфере с разным давлением кислорода

Обнаруженное методом РСА частичное ($P_{\rm O}$ = 4,3 мПа) либо полное ($P_{\rm O}$ = 9,8 мПа) окисление наночастиц подтверждается результатами ЯГР-спектроскопии (рис. 3 а), показывающей дублеты, которые относятся к оксидам ${\rm Fe}^{3+}({\rm Co})$ и ${\rm Fe}^{2+}({\rm Co})$ в СП состоянии в пленках, полученных при различных $P_{\rm O}$. Секстет, характеризующий ферромагнитно взаимодействующие частицы α -FeCo(Zr), присутствует только в пленках, осажденных при $P_{\rm O}$ = 4,3 мПа.

Анализ МС нанокомпозитов FeCoZr-CaF₂ показал, что в неокисленных пленках с x = 24–33 ат.% электроперенос осуществляется по туннельному спин-зависимому механизму. При более высоких значениях x наблюдается формирование токопроводящей сети и смена режима проводимости на металлический [3]. Зависимость величины эффекта $\Delta R/R_0$ (T) для ГНК с x = 24 ат.% (рис. 3 б) имеет немонотонный характер, обусловленный, вероятно, влиянием двух конкурирующих процессов, активизирующихся с понижением температуры, — (i) уменьшением

воздействия тепловых флуктуаций на направления магнитных моментов наночастиц и (ii) снижением энергии электронов, которой становится недостаточно для процесса туннелирования. Величина эффекта МС не превышает 2,5% для пленки с x = 24 ат.%, тогда как для образца с x = 33 ат.% она снижается до ~ 0.2 %.

Окисленные нанокомпозиты $FeCoZr-CaF_2$ ($P_O = 4,3$ м Πa) обладают отрицательным МС во всем исследованном диапазоне концентраций (x = 27-63 ar.%), что связано с отсутствием перколяционного перехода в частичного окисления гранул. пленках вследствие $\Delta R/R_0$ (T) окисленных образцов характеризуются монотонным ростом эффекта с понижением температуры (рис. 3 б), а зависимости $\Delta R/R_0$ (H) всех исследованных составов, в отличие от неокисленных ГНК, не выходят на насыщение в полях до 80 к \ni (T = 10-300 K) [3]. Кроме того, наблюдаются высокие значения низкотемпературного эффекта МС для окисленных пленок (7–8 % при T = 10–25 K). Данные наблюдения связаны с присутствием оксидных оболочек вокруг металлических наночапленках FeCoZr-CaF₂, Величина МС полученных $P_0 = 9.8 \text{ м}$ Па, близка к нулю, что связано с полным окислением металлических гранул.

Таким образом, синтез ГНК пленок FeCoZr-CaF₂ в атмосфере с варьируемым содержанием кислорода, приводит к трансформации фазового состава наночастиц с увеличением $P_{\rm O}$ от α -FeCo(Zr) до кристаллического CoO (FeO). Увеличенный низкотемпературный эффект МС в частично окисленных пленках обусловлен образованием оксидных оболочек вокруг наночастиц. Преимущественное направление магнитных моментов гранул, перпендикулярное плоскости пленки, в неокисленных и частично окисленных ($P_{\rm O}$ = 4,3 мПа) ГНК с высоким содержанием FeCoZr ($x \sim 70$ –75 ат. %), вероятно, связано с анизотропией формы металлических частиц, т.е. с ростом столбчатых структур.

Литература

- 1. *Губин С. П.*, *Кокшаров Ю. А.*, *Хомутов Г.Б.* и др. Магнитные наночастицы: методы получения, строение и свойства // Успехи химии. 2005. Т. 74. № 6. С. 539–574.
- 2. *Тимофеев А. А.*, *Рябченко С. М.*, *Калита В. М.* и др. Ростовая перпендикулярная анизотропия гранул в наногранулярных ферромагнитных пленках Co-Al-O // ФТТ. 2011. Т. 53. №3. С. 463–471.
- 3. *Касюк Ю. В.*, *Федотова Ю. А.*, *Свито И. А.*, *Милосавлиевич М*. Локальный атомный порядок и магниторезистивный эффект в пленках FeCoZr-CaF₂, синтезированных в кислородсодержащей атмосфере // Вестн. Белорус. ун-та. Сер. 1. 2012. №2. С. 56–63.